



LANDESSTELLE FÜR BAUTECHNIK

Braustraße 2, 04107 Leipzig
Telefon: +49 (0)341 977 3710
Telefax: +49 (0)341 977 3999

GZ: L37-2625.10/14/20

**Bescheid
über
die baustatische Typenprüfung**

Bescheid Nr.: T14-199

vom: 05.12.2014

Gegenstand: **Stahltrapezprofile der Firmenbezeichnung:**
SP 20/1078, SP 26/1000, SP 30/1105, SP 35/1035, SP 40/915,
SP 41/968, SP 44/1000, SP 44/1000 S, SP 45/900, SP 59/900,
SP 59/900 A, SP 80/830, SP 80/830 A, SP 105/1035, SP 105/1035 A,
SP 111/930, SP 111/930 A, SP 135/930, SP 135/930 A, SP 153/840,
SP 153/840 A, SP 160/750 und SP 160/750 A

Antragsteller: MONTANA Bausysteme AG
Durisolstraße 11
CH-5612 Villmergen

Planer: Ingenieurbüro für Leichtbau R. Holz
Rehbuckel 7
76228 Karlsruhe

Hersteller: wie Antragsteller

Geltungsdauer bis: 31.12.2019



Dieser Bescheid umfasst 5 Seiten und 78 Anlagen, die Bestandteil dieses Bescheides sind.



* 2 0 1 4 / 3 6 4 6 0 4 *

1. Allgemeine Bestimmungen

- 1.1. Die typengeprüften Bauvorlagen können anstelle von im Einzelfall zu prüfenden Nachweisen der Standsicherheit dem Bauantrag beigelegt werden.
- 1.2. Die Typenprüfung befreit nicht von der Verpflichtung, für jedes Bauvorhaben eine Genehmigung einzuholen, soweit gesetzliche Bestimmungen hiervon nicht befreien.
- 1.3. Die Ausführungen haben sich streng an die geprüften Pläne und an die Bestimmungen dieses Bescheides zu halten. Abweichungen hiervon sind nur zulässig, wenn sie die Zustimmung im Zuge einer Einzelprüfung gefunden haben.
- 1.4. Die typengeprüften Unterlagen dürfen nur vollständig mit dem Bescheid und den dazugehörigen Anlagen verwendet oder veröffentlicht werden. In Zweifelsfällen sind die bei der Landesstelle für Bautechnik befindlichen geprüften Unterlagen maßgebend.
- 1.5. Die Geltungsdauer dieser Typenprüfung kann auf Antrag jeweils um bis zu fünf Jahren verlängert werden. Der nächste Sichtvermerk durch die Landesstelle für Bautechnik ist dann spätestens am **31.12.2019** erforderlich.
- 1.6. Der Bescheid kann in begründeten Fällen, wie z. B. Änderungen Technischer Baubestimmungen oder wenn neue technische Erkenntnisse dies erfordern, entschädigungslos geändert oder zurückgezogen werden.
- 1.7. Dieser Bescheid über die baustatische Typenprüfung gilt unbeschadet der Rechte Dritter.
- 1.8. Die Typenprüfung berücksichtigt den derzeitigen Stand der Erkenntnisse. Eine Aussage über die Bewährung des Gegenstandes dieser Typenprüfung ist damit nicht verbunden.

2. Konstruktionsbeschreibung

Stahltrapezprofile der Firmenbezeichnung SP 20/1078, SP 26/1000, SP 30/1105, SP 35/1035, SP 40/915, SP 41/968, SP 44/1000, SP 44/1000 S, SP 45/900, SP 59/900, SP 59/900 A, SP 80/830, SP 80/830 A, SP 105/1035, SP 105/1035 A, SP 111/930, SP 111/930 A, SP 135/930, SP 135/930 A, SP 153/840, SP 153/840 A, SP 160/750 und SP 160/750 A aus feuerverzinktem Stahlblech gemäß DIN EN 10346 Tabelle 7.
Die rechnerische Blechkerndicke beträgt $t_N - 0,04$ mm.

3. Zutreffende Technischen Baubestimmungen

DIN EN 1993-1-1; Eurocode 3: Bemessung und Konstruktion von Stahlbauten - Teil 1-1: Allgemeine Bemessungsregeln und Regeln für den Hochbau

DIN EN 1993-1-1/NA; Nationaler Anhang - National festgelegte Parameter - Eurocode 3: Bemessung und Konstruktion von Stahlbauten - Teil 1-1: Allgemeine Bemessungsregeln und Regeln für den Hochbau

DIN EN 1993-1-3; Eurocode 3: Eurocode 3: Bemessung und Konstruktion von Stahlbauten - Teil 1-3: Allgemeine Regeln - Ergänzende Regeln für kaltgeformte Bauteile und Bleche

DIN EN 1993-1-3/NA; Nationaler Anhang - National festgelegte Parameter - Eurocode 3: Bemessung und Konstruktion von Stahlbauten - Teil 1-3: Allgemeine Regeln - Ergänzende Regeln für kaltgeformte dünnwandige Bauteile und Bleche



DIN EN 1993-1-5; Eurocode 3: Bemessung und Konstruktion von Stahlbauten - Teil 1-5: Plattenförmige Bauteile

DIN EN 1993-1-5/NA; Nationaler Anhang - National festgelegte Parameter - Eurocode 3: Bemessung und Konstruktion von Stahlbauten - Teil 1-5: Plattenförmige Bauteile

4. Geprüfte Unterlagen

- 4.1. Statische Berechnung Nr. 1214/13-3 Rev.1: „Ermittlung der charakteristischen Querschnitts- und Tragfähigkeitswerte nach EN 1993-1-3 für die Stahl-Trapezprofile Montana SP 20, SP 26, SP 30, SP 35, SP 40, SP 41, SP 44, SP 44 S, SP 45, SP 59, SP 80, SP 105 und SP 111“; Ingenieurbüro für Leichtbau R. Holz; 39 Seiten

Anhang 1:	13 Seiten	Anhang 2:	44 Seiten
Anhang 3:	44 Seiten	Anhang 4:	44 Seiten
Anhang 5:	44 Seiten	Anhang 6:	44 Seiten
Anhang 7:	16 Seiten	Anhang 8:	52 Seiten
Anhang 9:	52 Seiten	Anhang 10:	44 Seiten
Anhang 11:	98 Seiten	Anhang 12:	113 Seiten
Anhang 13:	84 Seiten	Anhang 14:	84 Seiten

- 4.2. Statische Berechnung Nr. 1214/13-7: „Ermittlung der charakteristischen Querschnitts- und Tragfähigkeitswerte nach EN 1993-1-3 für die Stahl-Trapezprofile Montana SP 59 A, SP 80 A, SP 105 A und SP 111 A“; Ingenieurbüro für Leichtbau R. Holz; 21 Seiten

Anhang 1:	4 Seiten	Anhang 2:	98 Seiten
Anhang 3:	113 Seiten	Anhang 4:	68 Seiten
Anhang 5:	68 Seiten		

- 4.3. Statische Berechnung Nr. 1214/13-9: „Ermittlung der charakteristischen Querschnitts- und Tragfähigkeitswerte nach EN 1993-1-3 für die Stahl-Trapezprofile Montana SP 135, SP 135 A, SP 153, SP 153 A, SP 160 und SP 160 A“; Ingenieurbüro für Leichtbau R. Holz; 24 Seiten

Anhang 1:	6 Seiten	Anhang 2:	85 Seiten
Anhang 3:	84 Seiten	Anhang 4:	84 Seiten
Anhang 5:	84 Seiten	Anhang 6:	85 Seiten
Anhang 7:	84 Seiten	Anhang 8:	3 Seiten

- 4.4. Statische Berechnung Nr. 1214/13-10: „Ermittlung der charakteristischen Querschnitts- und Tragfähigkeitswerte nach EN 1993-1-3 für die Stahl-Trapezprofile Montana SP 160 und SP 160 A, Form 2014“; Ingenieurbüro für Leichtbau R. Holz; 9 Seiten

Anhang 1:	1 Seite	Anhang 2:	85 Seiten
Anhang 3:	83 Seiten		



4.5. Formblätter (Typenblätter) zu den Profilen gemäß Tabelle:

Anlage Nr.:	Profil:	f_{yk} [N/mm ²]	Blechkicken [mm]
1.1, 1.2, 1.3, 1.4	SP 20/1078	320	0,70 bis 1,25
2.1, 2.2, 2.3, 2.4	SP 26/1000	320	0,70 bis 1,25
3.1, 3.2, 3.3, 3.4	SP 30/1105	320	0,70 bis 1,25
4.1, 4.2, 4.3, 4.4	SP 35/1035	320	0,70 bis 1,25
5.1, 5.2, 5.3, 5.4	SP 40/915	320	0,70 bis 1,25
6.1, 6.2, 6.3, 6.4	SP 41/968	320	0,70 bis 1,25
7.1, 7.2	SP 44/1000	320	0,63 bis 1,25
8.1, 8.2	SP 44/1000 S	320	0,63 bis 1,25
9.1, 9.2, 9.3, 9.4	SP 45/900	320	0,70 bis 1,25
10.1, 10.2, 10.3, 10.4	SP 59/900	320	0,70 bis 1,25
11.1, 11.2	SP 59/900 A	320	0,70 bis 1,25
12.1, 12.2, 12.3, 12.4	SP 80/830	320	0,70 bis 1,50
13.1, 13.2	SP 80/830 A	320	0,70 bis 1,50
14.1, 14.2.1, 14.2.2, 14.3, 14.4	SP 105/1035	350	0,75 bis 1,50
15.1, 15.2.1, 15.2.2	SP 105/1035 A	350	0,75 bis 1,50
16.1, 16.2.1, 16.2.2, 16.3, 16.4	SP 111/930	350	0,75 bis 1,50
17.1, 17.2.1, 17.2.2	SP 111/930 A	350	0,75 bis 1,50
18.1, 18.2, 18.3, 18.4	SP 135/930	320	0,75 bis 1,50
19.1, 19.2	SP 135/930 A	320	0,75 bis 1,50
20.1, 20.2, 20.3, 20.4	SP 153/840	320	0,75 bis 1,50
21.1, 21.2	SP 153/840 A	320	0,75 bis 1,50
22.1, 22.2, 22.3, 22.4	SP 160/750	320	0,75 bis 1,50
23.1, 23.2	SP 160/750 A	320	0,75 bis 1,50

5. Prüfergebnis

- 5.1. Die unter Ziffer 4 aufgeführten Unterlagen wurden in baustatischer Hinsicht geprüft.
- 5.2. Sonstige bauordnungsrechtliche oder andere behördliche Anforderungen waren nicht Gegenstand der Prüfung.
- 5.3. Der Gegenstand der Typenprüfung entspricht den unter Ziffer 3 aufgeführten Technischen Baubestimmungen.
- 5.4. Die Werte in den Formblättern gelten, wenn für die Blechkicken die Minustoleranzen nach DIN EN 10143:2006, Tabelle 2 „Eingeschränkte Grenzabmaße (S)“ eingehalten werden.
- 5.5. Unter Beachtung dieses Bescheides und den Vorgaben nach den geprüften Unterlagen bestehen gegen eine Ausführung und Anwendung der Trapezprofile in den vorgegebenen Grenzen aus baustatischer Sicht keine Bedenken.



6. Rechtsgrundlagen

Die Landesdirektion Sachsen - Landesstelle für Bautechnik - ist gemäß § 32 DVO-SächsBO¹ Prüfant zur Typenprüfung; zur Typenprüfung von Standsicherheitsnachweisen siehe die jeweilige Landesbauordnung und § 66 Abs. 4 Satz 3 der Musterbauordnung (Fassung 2002).

7. Gebühren

Der Antragsteller trägt die Kosten des Verfahrens. Der Kostenbescheid wird gesondert ausgestellt.

8. Rechtsbehelfsbelehrung

8.1. Gegen diesen Typenprüfbescheid kann innerhalb eines Monats nach Bekanntgabe Widerspruch erhoben werden. Dieser Widerspruch ist bei der Landesdirektion Sachsen, Landesstelle für Bautechnik, Braustraße 2, 04107 Leipzig, schriftlich oder zur Niederschrift einzulegen.

8.2. Bei Zusendung durch einfachen Brief gilt die Bekanntgabe mit dem dritten Tag nach Abgabe zur Post als bewirkt, es sei denn, dass der Typenprüfbescheid zu einem späteren Zeitpunkt zugegangen ist.

Leiter

Dr.-Ing. H.-A. Biegholdt



Bearbeiter

Christian Kutzer

Anlagen: Siehe Tabelle unter Ziffer 4.5

¹ Verordnung des Sächsischen Staatsministeriums des Innern zur Durchführung der Sächsischen Bauordnung (Durchführungsverordnung zur SächsBO – DVOSächsBO) i. d. F. d. Bek. vom 02.09.2004 SächsGVBl. Jg. 2004 Bl.-Nr. 12 S. 427 Fsn-Nr.: 421-1.14/2 Fassung gültig ab: 02.03.2012

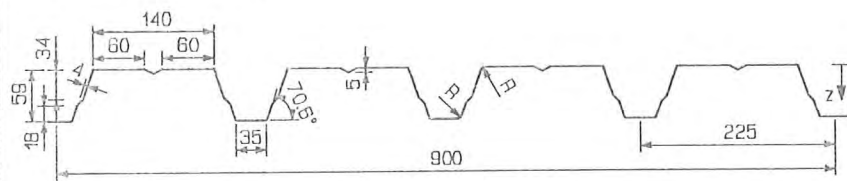
Stahl- Trapezprofil

SP 59/900

Querschnitts- und Bemessungswerte nach DIN EN 1993-1-3

Profiltafel in Positivlage

Maße in mm, Radien R= 5 mm



Anlage 10.1 zum Prüfbescheid
ALS TYPENENTWURF
 in baustatischer Hinsicht geprüft.
 Prüfbescheid Nr. T14-199
 Landesdirektion Sachsen
Landesstelle für Bautechnik
 Leipzig, den 05.12.2014
 Leiter: _____ Bearbeiter: _____



Nennstreckgrenze des Stahlkernes $f_{y,k} = 320 \text{ N/mm}^2$

Maßgebende Querschnittswerte

Nennblechdicke ^{a)}	Eigenlast	Biegung ¹¹⁾		Normalkraftbeanspruchung						Grenzstützweiten ¹³⁾	
				nicht reduzierter Querschnitt			wirksamer Querschnitt ¹²⁾			Einfeldträger	Mehrfeldträger
				A_g	i_g	z_g	A_{eff}	i_{eff}	z_{eff}		
t_N	g	I_{eff}^+	I_{eff}^-	A_g	i_g	z_g	A_{eff}	i_{eff}	z_{eff}	L_{gr}	L_{gr}
mm	kN/m ²	cm ⁴ /m		cm ² /m	cm		cm ² /m	cm		m	
0,70	0,077	44,2	43,9	8,87	2,23	1,92	4,02	2,52	2,48	1,69	2,11
0,75	0,083	47,6	47,6	9,55	2,23	1,92	4,51	2,50	2,53	1,95	2,44
0,80	0,088	50,9	50,9	10,22	2,23	1,92	5,05	2,49	2,50	2,03	2,54
0,88	0,097	56,3	56,3	11,29	2,23	1,92	5,93	2,48	2,46	2,24	2,80
1,00	0,110	64,3	64,3	12,90	2,23	1,92	7,35	2,46	2,41	2,50	3,12
1,25	0,138	80,4	81,0	16,26	2,23	1,92	10,19	2,43	2,26	3,15	3,94

Schubfeldwerte

t_N	Grenz Zustand der Gebrauchstauglichkeit ¹⁷⁾					Grenz Zustand der Tragfähigkeit ¹⁸⁾						
	$T_{b,ck}$	$K_1^{14) 15)}$	$K_2^{14) 15)}$	$K_1^{* 15)}$	$K_2^{* 15)}$	$T_{Rk,g}^{16)}$	$L_R^{16)}$	$T_{Rk,l}$	$K_3^{19)}$	Lasteinleitung		
										$T_{l,Rk}^{22)}$	$F_{l,Rk}^{21)}$ für $a \geq$	
mm	kN/m	$10^{-4} \cdot \text{m}/\text{kN}$	$10^{-4} \cdot \text{m}^2/\text{kN}$	$10^{-4} \cdot 1/\text{kN}$	$10^{-4} \cdot \text{m}^2/\text{kN}$	kN/m	m	kN/m	-	kN/m	kN	kN

Normalbefestigung: Verbindung in jedem Untergurt

0,70	1,58	0,252	24,95	3,889	1,575	8,43	4,33	17,24	0,188	2,85	/	/
0,75	1,90	0,234	20,79	3,889	1,575	8,72	4,50	21,46	0,195	3,18		
0,80	2,25	0,219	17,53	3,889	1,575	9,66	4,50	26,32	0,202	3,52		
0,88	2,89	0,198	13,65	3,889	1,575	11,22	4,50	35,54	0,212	4,09		
1,00	4,04	0,173	9,778	3,889	1,575	13,71	4,50	53,05	0,227	5,00		
1,25	7,20	0,137	5,482	3,889	1,575	19,39	4,50	96,80	0,255	7,07		

Sonderbefestigung: Verbindung mit 2 Schrauben oder verstärkter Unterlegscheibe in jedem Untergurt²⁰⁾

0,70	1,53	0,252	24,05	3,889	0,788	8,43	4,33	17,24	0,270	3,90	/	/
0,75	1,83	0,234	20,03	3,889	0,788	8,72	4,50	21,46	0,270	4,36		
0,80	2,17	0,219	16,90	3,889	0,788	9,66	4,50	26,32	0,270	4,82		
0,88	2,79	0,198	13,16	3,889	0,788	11,22	4,50	35,54	0,270	5,61		
1,00	3,90	0,173	9,424	3,889	0,788	13,71	4,50	53,05	0,270	6,85		
1,25	6,95	0,137	5,284	3,889	0,788	19,39	4,50	96,80	0,270	9,69		

a) Blechdicke: Minustoleranz nach DIN EN 10143:2006, Tabelle 2 „Eingeschränkte Grenzabmaße (S)“.

Weitere Fußnoten siehe Beiblatt 1/2 bzw. 2/2

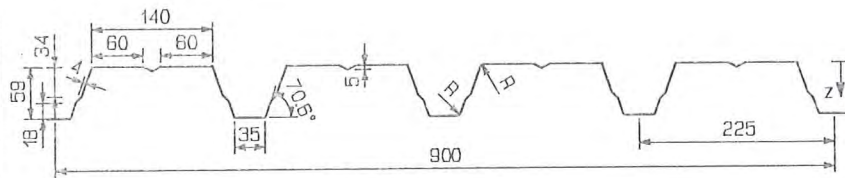
Stahl- Trapezprofil

SP 59/900

Querschnitts- und Bemessungswerte nach DIN EN 1993-1-3

Profiltafel in Positivlage

Maße in mm, Radien R= 5 mm



Anlage 10.2 zum Prüfbescheid
ALS TYPENENTWURF
 in baustatischer Hinsicht geprüft.
 Prüfbescheid Nr. T14-199
 Landesdirektion Sachsen
Landesstelle für Bautechnik
 Leipzig, den 05.12.2014
 Leiter: _____ Bearbeiter: _____



Nennstreckgrenze des Stahlkernes $f_{y,k} = 320 \text{ N/mm}^2$

Charakteristische Tragfähigkeitswerte für andrückende Flächenbelastung ³⁾

Nennblechdicke	Feldmoment	Endauflagerkraft ⁶⁾				Elastisch aufnehmbare Schnittgrößen an Zwischenauflagern ^{1) 2) 4) 5) 7)}								
						Querkraft				Lineare Interaktion				
		$I_{a,A1} = -$	$I_{a,A2} = 40 \text{ mm}$	$I_{a,A1} = -$	$I_{a,A2} = 40 \text{ mm}$	Stützmomente				Zwischenauflagerkräfte				
						$I_{a,B} = 60 \text{ mm}$		$I_{a,B} = 160 \text{ mm}$		$I_{a,B} = 60 \text{ mm}$		$I_{a,B} = 160 \text{ mm}$		
t_N	$M_{c,Rk,F}$	$R_{T,w,Rk,A}$		$R_{G,w,Rk,A}$		$V_{w,Rk}$	$M_{Rk,B}^0$	$M_{c,Rk,B}$	$M_{Rk,B}^0$	$M_{c,Rk,B}$	$R_{Rk,B}^0$	$R_{w,Rk,B}$	$R_{Rk,B}^0$	$R_{w,Rk,B}$
mm	kNm/m	kN/m				kN/m	kNm/m				kN/m			
0,70	4,04	/	13,23	/	13,23	n.m.	3,18	2,85	-	3,91	103,4	17,58	-	26,25
0,75	4,68	/	15,31	/	15,31	n.m.	3,68	3,30	-	4,53	119,7	20,35	-	30,38
0,80	5,14	/	17,97	/	17,97	n.m.	4,36	3,85	-	4,95	123,4	23,01	-	34,38
0,88	5,88	/	22,23	/	22,23	n.m.	5,46	4,73	-	5,63	117,6	27,26	-	40,78
1,00	6,99	/	28,62	/	28,62	n.m.	7,11	6,05	-	6,64	115,8	33,64	-	50,38
1,25	9,07	/	42,65	/	42,65	n.m.	9,88	8,90	-	9,72	224,3	50,94	-	71,46

Reststützmomente ⁸⁾

t_N	$I_{a,B} = 60 \text{ mm}$			$I_{a,B} = 160 \text{ mm}$			Reststützmomente $M_{R,Rk}$	
	min L	max L	max $M_{R,Rk}$	min L	max L	max $M_{R,Rk}$		
mm	m	m	kNm/m	m	m	kNm/m		
0,70	2,45	3,36	2,07	1,22	2,26	3,50	$M_{R,Rk} = 0$ für $L \leq \min L$	
0,75	2,38	3,24	2,40	1,22	2,26	4,05	$M_{R,Rk} = \frac{L - \min L}{\max L - \min L} \cdot \max M_{R,Rk}$	
0,80	2,24	3,12	2,81	1,19	2,24	4,53		
0,88	2,02	2,92	3,47	1,14	2,20	5,30		
1,00	1,84	2,76	4,46	1,09	2,16	6,46		
1,25	1,64	2,59	6,35	0,68	1,88	9,72		

Charakteristische Tragfähigkeitswerte für abhebende Flächenbelastung ^{1) 2)}

Nennblechdicke	Feldmoment	Verbindung in jedem anliegenden Gurt						Verbindung in jedem 2. anliegenden Gurt					
		Endauflagerkraft	M/V- Interaktion					Endauflagerkraft	M/V- Interaktion				
			$R_{w,Rk,A}$	$M_{Rk,B}^0$	$M_{c,Rk,B}$	$R_{Rk,B}^0$	$R_{w,Rk,B}$		$V_{w,Rk}$	$R_{w,Rk,A}$	$M_{Rk,B}^0$	$M_{c,Rk,B}$	$R_{Rk,B}^0$
t_N	$M_{c,Rk,F}$	kN/m	kNm/m	kNm/m	kN/m	kN/m	kN/m	kN/m	kNm/m	kNm/m	kN/m	kN/m	kN/m
0,70	3,211	50,33	-	3,520	-	-	50,33	25,17	-	1,760	-	-	25,17
0,75	3,523	57,83	-	3,894	-	-	57,83	28,91	-	1,947	-	-	28,91
0,80	3,841	65,82	-	4,278	-	-	65,82	32,91	-	2,139	-	-	32,91
0,88	4,359	79,65	-	4,910	-	-	79,65	39,83	-	2,455	-	-	39,83
1,00	5,147	91,37	-	5,894	-	-	91,37	45,69	-	2,947	-	-	45,69
1,25	6,530	115,11	-	8,100	-	-	115,11	57,55	-	4,050	-	-	57,55

Fußnoten siehe Beiblatt 1/2

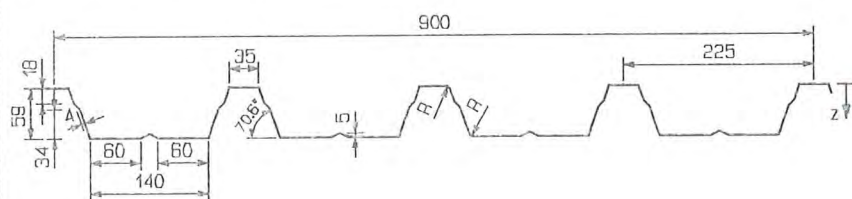
Stahl- Trapezprofil

SP 59/900

Querschnitts- und Bemessungswerte nach DIN EN 1993-1-3

Profiltafel in **Negativlage**

Maße in mm, Radien R= 5 mm



Anlage 10.3 zum Prüfbescheid
ALS TYPENENTWURF
 in baustatischer Hinsicht geprüft.
 Prüfbescheid Nr. T14-199
 Landesdirektion Sachsen
Landesstelle für Bautechnik
 Leipzig, den 05.12.2014
 Leiter: _____ Bearbeiter: _____



Nennstreckgrenze des Stahlkernes $f_{y,k} = 320 \text{ N/mm}^2$

Maßgebende Querschnittswerte

Nennblechdicke a)	Eigenlast g	Biegung ¹¹⁾		Normalkraftbeanspruchung						Grenzstützweiten ¹³⁾		
				nicht reduzierter Querschnitt			wirksamer Querschnitt ¹²⁾			Einfeldträger L_{gr}	Mehrfeldträger L_{gr}	
				A_g	i_g	z_g	A_{eff}	i_{eff}	z_{eff}			
t_N	mm	I_{eff}^+	I_{eff}^-	cm^4/m	cm^2/m	cm	cm	cm	cm	cm	m	m
0,70	0,077	43,9	44,2	8,87	2,23	3,98	4,02	2,52	3,42			
0,75	0,083	47,6	47,6	9,55	2,23	3,98	4,51	2,50	3,37			
0,80	0,088	50,9	50,9	10,22	2,23	3,98	5,05	2,49	3,40			
0,88	0,097	56,3	56,3	11,29	2,23	3,98	5,93	2,48	3,44			
1,00	0,110	64,3	64,3	12,90	2,23	3,98	7,35	2,46	3,49			
1,25	0,138	81,0	80,4	16,26	2,23	3,98	10,19	2,43	3,64			

Schubfeldwerte

t_N	Grenz Zustand der Gebrauchstauglichkeit ¹⁷⁾					Grenz Zustand der Tragfähigkeit ¹⁸⁾						
	$T_{b,ck}$	$K_1^{14) 15)}$	$K_2^{14) 15)}$	$K_1^*^{15)}$	$K_2^*^{15)}$	$T_{Rk,g}^{16)}$	$L_R^{16)}$	$T_{Rk,l}$	$K_3^{19)}$	Lasteinleitung		
										$T_{l,Rk}^{22)}$	$F_{l,Rk}^{21)}$ für $a \geq$	
mm	kN/m	$10^{-4} \cdot m/kN$	$10^{-4} \cdot m^2/kN$	$10^{-4} \cdot 1/kN$	$10^{-4} \cdot m^2/kN$	kN/m	m	kN/m	-	kN/m	130 mm	280 mm
0,70	2,22	0,252	16,72	3,889	1,575	9,25	4,14	17,24	0,128	5,64		
0,75	2,67	0,234	13,93	3,889	1,575	9,40	4,33	21,46	0,132	6,29		
0,80	3,16	0,219	11,75	3,889	1,575	9,66	4,50	26,32	0,137	6,97		
0,88	4,06	0,198	9,147	3,889	1,575	11,22	4,50	35,54	0,144	8,09		
1,00	5,67	0,173	6,551	3,889	1,575	13,71	4,50	53,05	0,154	9,89		
1,25	10,11	0,137	3,673	3,889	1,575	19,39	4,50	96,80	0,173	13,99		

Normalbefestigung: Verbindung in jedem Untergurt

0,70	2,22	0,252	16,72	3,889	1,575	9,25	4,14	17,24	0,128	5,64		
0,75	2,67	0,234	13,93	3,889	1,575	9,40	4,33	21,46	0,132	6,29		
0,80	3,16	0,219	11,75	3,889	1,575	9,66	4,50	26,32	0,137	6,97		
0,88	4,06	0,198	9,147	3,889	1,575	11,22	4,50	35,54	0,144	8,09		
1,00	5,67	0,173	6,551	3,889	1,575	13,71	4,50	53,05	0,154	9,89		
1,25	10,11	0,137	3,673	3,889	1,575	19,39	4,50	96,80	0,173	13,99		

Sonderbefestigung: Verbindung mit 2 Schrauben oder verstärkter Unterlegscheibe in jedem Untergurt ²⁰⁾

0,70	12,29	0,252	0,716	3,889	0,788	9,25	4,14	17,24	0,658	15,06		
0,75	14,75	0,234	0,597	3,889	0,788	9,40	4,33	21,46	0,658	16,80		
0,80	17,49	0,219	0,504	3,889	0,788	9,66	4,50	26,32	0,658	18,61		
0,88	22,46	0,198	0,392	3,889	0,788	11,22	4,50	35,54	0,658	21,62		
1,00	31,36	0,173	0,281	3,889	0,788	13,71	4,50	53,05	0,658	26,41		
1,25	55,93	0,137	0,157	3,889	0,788	19,39	4,50	96,80	0,658	37,38		

a) Blechdicke: Minustoleranz nach DIN EN 10143:2006, Tabelle 2 „Eingeschränkte Grenzabmaße (S)“.

Weitere Fußnoten siehe Beiblatt 1/2 bzw. 2/2

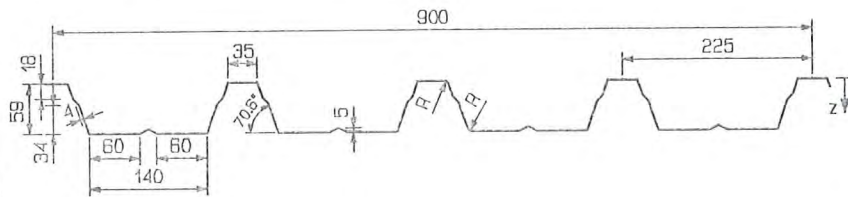
Stahl- Trapezprofil

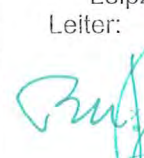

SP 59/900

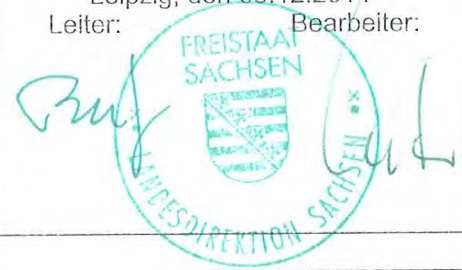
Querschnitts- und Bemessungswerte nach DIN EN 1993-1-3

Profiltafel in **Negativlage**

Maße in mm, Radien R= 5 mm



Anlage 10.4 zum Prüfbescheid
ALS TYPENENTWURF
 in baustatischer Hinsicht geprüft.
 Prüfbescheid Nr. T14-199
 Landesdirektion Sachsen
Landesstelle für Bautechnik
 Leipzig, den 05.12.2014
 Leiter:  Bearbeiter: 



Nennstreckgrenze des Stahlkernes $f_{y,k} = 320 \text{ N/mm}^2$

Charakteristische Tragfähigkeitswerte für andrückende Flächenbelastung ³⁾

Nennblechdicke	Feldmoment	Endauflagerkraft ⁶⁾		Quer- kraft	Elastisch aufnehmbare Schnittgrößen an Zwischenauflagern ^{1) 2) 4) 5) 7)}											
					Lineare Interaktion						Zwischenauflagerkräfte					
					Stützmomente			Zwischenauflagerkräfte			Stützmomente			Zwischenauflagerkräfte		
					$I_{a,B} = 10 \text{ mm}$	$I_{a,B} = 60 \text{ mm}$	$I_{a,B} = 160 \text{ mm}$	$I_{a,B} = 10 \text{ mm}$	$I_{a,B} = 60 \text{ mm}$	$I_{a,B} = 160 \text{ mm}$	$I_{a,B} = 10 \text{ mm}$	$I_{a,B} = 60 \text{ mm}$	$I_{a,B} = 160 \text{ mm}$	$I_{a,B} = 10 \text{ mm}$	$I_{a,B} = 60 \text{ mm}$	$I_{a,B} = 160 \text{ mm}$
t_N	$M_{c,Rk,F}$	$R_{w,Rk,A}$	$V_{w,Rk}$	$M_{Rk,B}^0$	$M_{c,Rk,B}$	$M_{Rk,B}^0$	$M_{c,Rk,B}$	$M_{Rk,B}^0$	$M_{c,Rk,B}$	$R_{Rk,B}^0$	$R_{w,Rk,B}$	$R_{Rk,B}^0$	$R_{w,Rk,B}$	$R_{Rk,B}^0$	$R_{w,Rk,B}$	
mm	kNm/m	kN/m	kN/m	kNm/m						kN/m						
0,70	3,211	5,22	7,96	4,40	3,52	4,40	3,52	4,40	3,52	13,06	10,45	22,98	18,39	33,60	26,88	
0,75	3,523	6,04	9,15	4,87	3,89	4,87	3,89	4,87	3,89	15,10	12,08	26,38	21,10	38,43	30,75	
0,80	3,841	6,92	10,42	5,35	4,28	5,35	4,28	5,35	4,28	17,30	13,84	30,00	24,00	43,58	34,86	
0,88	4,359	8,45	12,63	6,14	4,91	6,14	4,91	6,14	4,91	21,14	16,91	36,27	29,01	52,45	41,96	
1,00	5,147	11,07	16,35	7,37	5,89	7,37	5,89	7,37	5,89	27,67	22,14	46,82	37,45	67,29	53,83	
1,25	6,530	17,82	25,81	10,12	8,10	10,12	8,10	10,12	8,10	44,54	35,63	73,50	58,80	104,47	83,58	

Reststützmomente ⁸⁾

t_N	$I_{a,B} = 10 \text{ mm}$			$I_{a,B} = 60 \text{ mm}$			$I_{a,B} = 160 \text{ mm}$			Reststützmomente $M_{R,Rk}$
	min L	max L	max $M_{R,Rk}$	min L	max L	max $M_{R,Rk}$	min L	max L	max $M_{R,Rk}$	
mm	m	m	kNm/m	m	m	kNm/m	m	m	kNm/m	
										$M_{R,Rk} = 0$ für $L \leq \min L$ $M_{R,Rk} = \frac{L - \min L}{\max L - \min L} \cdot \max M_{R,Rk}$ $M_{R,Rk} = \max M_{R,Rk}$ für $L \geq \max L$

Charakteristische Tragfähigkeitswerte für abhebende Flächenbelastung ^{1) 2)}

Nennblechdicke	Feldmoment	Verbindung in jedem anliegenden Gurt							Verbindung in jedem 2. anliegenden Gurt				
		Endauflagerkraft	M/V- Interaktion					Endauflagerkraft	M/V- Interaktion				
			$M_{Rk,B}^0$	$M_{c,Rk,B}$	$R_{Rk,B}^0$	$R_{w,Rk,B}$	$V_{w,Rk}$		$R_{w,Rk,A}$	$M_{Rk,B}^0$	$M_{c,Rk,B}$	$R_{Rk,B}^0$	$R_{w,Rk,B}$
t_N	$M_{c,Rk,F}$	$R_{w,Rk,A}$	$M_{Rk,B}^0$	$M_{c,Rk,B}$	$R_{Rk,B}^0$	$R_{w,Rk,B}$	$V_{w,Rk}$	$R_{w,Rk,A}$	$M_{Rk,B}^0$	$M_{c,Rk,B}$	$R_{Rk,B}^0$	$R_{w,Rk,B}$	$V_{w,Rk}$
mm	kNm/m	kN/m	kNm/m	kNm/m	kN/m	kN/m	kN/m	kN/m	kNm/m	kNm/m	kN/m	kN/m	kN/m
0,70	3,520	50,33	-	3,211	-	-	50,33	25,17	-	1,605	-	-	25,17
0,75	3,894	57,83	-	3,523	-	-	57,83	28,91	-	1,762	-	-	28,91
0,80	4,278	65,82	-	3,841	-	-	65,82	32,91	-	1,921	-	-	32,91
0,88	4,910	79,65	-	4,359	-	-	79,65	39,83	-	2,179	-	-	39,83
1,00	5,894	91,37	-	5,147	-	-	91,37	45,69	-	2,574	-	-	45,69
1,25	8,100	115,11	-	6,530	-	-	115,11	57,55	-	3,265	-	-	57,55

Fußnoten siehe Beiblatt 1/2

Stahl- Trapezprofil

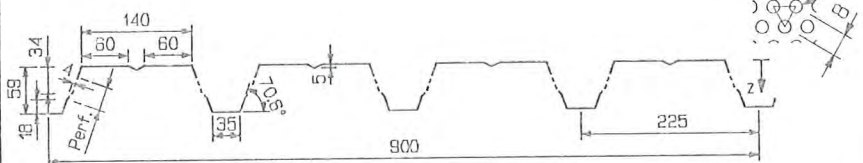
SP 59/900 A

Querschnitts- und Bemessungswerte nach DIN EN 1993-1-3

Profiltafel in Positivlage

Maße in mm, Radien R= 5 mm

Lochbild Rv 5-8



Anlage 11.1 zum Prüfbescheid
ALS TYPENENTWURF
 in baustatischer Hinsicht geprüft.
 Prüfbescheid Nr. T14-199
 Landesdirektion Sachsen
Landesstelle für Bautechnik
 Leipzig, den 05.12.2014
 Leiter: Bearbeiter:



Nennstreckgrenze des Stahlkernes $f_{y,k} = 320 \text{ N/mm}^2$

Maßgebende Querschnittswerte

Nennblechdicke t_N a)	Eigenlast g	Biegung ¹¹⁾		Normalkraftbeanspruchung						Grenzstützweiten ¹³⁾	
				nicht reduzierter Querschnitt			wirksamer Querschnitt ¹²⁾			Einfeldträger	Mehrfeldträger
				I_{eff}^+	I_{eff}	A_g	i_g	z_g	A_{eff}	i_{eff}	z_{eff}
mm	kN/m ²	cm ⁴ /m		cm ² /m	cm		cm ² /m	cm		m	
0,70	0,071	36,5	41,6	7,28	2,40	1,83	3,33	2,69	2,63	/	/
0,75	0,076	39,9	45,1	7,83	2,40	1,83	3,70	2,67	2,68		
0,80	0,081	43,4	48,3	8,39	2,40	1,83	4,13	2,67	2,65		
0,88	0,089	49,0	53,4	9,27	2,40	1,83	4,84	2,67	2,61		
1,00	0,101	57,7	61,0	11,52	2,17	1,63	5,98	2,66	2,54		
1,25	0,127	76,2	76,8	13,35	2,40	1,83	8,38	2,62	2,35		

Schubfeldwerte

t_N	Grenz Zustand der Gebrauchstauglichkeit ¹⁷⁾					Grenz Zustand der Tragfähigkeit ¹⁸⁾						
	$T_{b,ck}$	K_1 ^{14) 15)}	K_2 ^{14) 15)}	K_1^* ¹⁵⁾	K_2^* ¹⁵⁾	$T_{Rk,g}$ ¹⁶⁾	L_R ¹⁶⁾	$T_{Rk,l}$	K_3 ¹⁹⁾	Lasteinleitung		
										$T_{l,Rk}$ ²²⁾	$F_{l,Rk}$ ²¹⁾ für $a \geq$	
mm	kN/m	$10^{-4} \cdot \text{m/kN}$	$10^{-4} \cdot \text{m}^2/\text{kN}$	$10^{-4} \cdot \text{m/kN}$	$10^{-4} \cdot \text{m}^2/\text{kN}$	kN/m	m	kN/m	-	kN/m	130 mm	280 mm

Normalbefestigung: Verbindung in jedem Untergurt

0,70	1,16	0,252	33,955	3,889	1,575	7,51	4,50	17,24	0,188	2,09	/	/
0,75	1,40	0,234	28,289	3,889	1,575	8,38	4,50	21,46	0,195	2,34		
0,80	1,65	0,219	23,863	3,889	1,575	9,28	4,50	26,32	0,202	2,59		
0,88	2,13	0,198	18,581	3,889	1,575	10,78	4,50	35,54	0,212	3,01		
1,00	2,97	0,173	13,307	3,889	1,575	12,08	4,50	51,21	0,227	3,67		
1,25	5,29	0,137	7,461	3,889	1,575	18,63	4,50	96,80	0,255	5,20		

Sonderbefestigung: Verbindung mit 2 Schrauben oder verstärkter Unterlegscheibe in jedem Untergurt ²⁰⁾

0,70	1,12	0,252	32,725	3,889	0,788	7,51	4,50	17,24	0,270	2,87	/	/
0,75	1,35	0,234	27,265	3,889	0,788	8,38	4,50	21,46	0,270	3,20		
0,80	1,60	0,219	22,999	3,889	0,788	9,28	4,50	26,32	0,270	3,54		
0,88	2,05	0,198	17,908	3,889	0,788	10,78	4,50	35,54	0,270	4,12		
1,00	2,86	0,173	12,825	3,889	0,788	12,08	4,50	51,21	0,270	5,03		
1,25	5,11	0,137	7,191	3,889	0,788	18,63	4,50	96,80	0,270	7,12		

a) Blechdicke: Minustoleranz nach DIN EN 10143:2006, Tabelle 2 „Eingeschränkte Grenzabmaße (S)“.

Weitere Fußnoten siehe Beiblatt 1/2 bzw. 2/2

Stahl- Trapezprofil

SP 59/900 A

Querschnitts- und Bemessungswerte nach DIN EN 1993-1-3

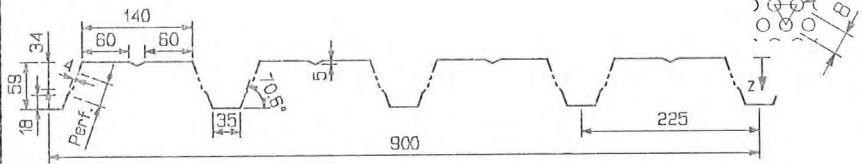
Anlage 11.2 zum Prüfbescheid
ALS TYPENENTWURF
 in baustatischer Hinsicht geprüft.
 Prüfbescheid Nr. T14-199
 Landesdirektion Sachsen
Landesstelle für Bautechnik
 Leipzig, den 05.12.2014
 Leiter: _____ Bearbeiter: _____

Profiltafel in

Positivlage

Maße in mm, Radien R= 5 mm

Lochbild Rv 5-B



Nennstreckgrenze des Stahlkerns $f_{y,k} = 320 \text{ N/mm}^2$

Charakteristische Tragfähigkeitswerte für andrückende Flächenbelastung ³⁾

Nennblechdicke	Feldmoment	Endauflagerkraft ⁶⁾		Elastisch aufnehmbare Schnittgrößen an Zwischenauflagern ^{1) 2) 4) 5) 7)}												
				Querkraft	Lineare Interaktion						Zwischenaflagerkräfte					
					Stützmomente			Zwischenaflagerkräfte			Stützmomente			Zwischenaflagerkräfte		
					$l_{a,B} = 10 \text{ mm}$	$l_{a,B} = 60 \text{ mm}$	$l_{a,B} = 160 \text{ mm}$	$l_{a,B} = 10 \text{ mm}$	$l_{a,B} = 60 \text{ mm}$	$l_{a,B} = 160 \text{ mm}$	$l_{a,B} = 10 \text{ mm}$	$l_{a,B} = 60 \text{ mm}$	$l_{a,B} = 160 \text{ mm}$	$l_{a,B} = 10 \text{ mm}$	$l_{a,B} = 60 \text{ mm}$	$l_{a,B} = 160 \text{ mm}$
t_N	$M_{c,Rk,F}$	$R_{w,Rk,A}$	$V_{w,Rk}$	$M_{Rk,B}^0$	$M_{c,Rk,B}$	$M_{Rk,B}^0$	$M_{c,Rk,B}$	$M_{Rk,B}^0$	$M_{c,Rk,B}$	$R_{Rk,B}^0$	$R_{w,Rk,B}$	$R_{Rk,B}^0$	$R_{w,Rk,B}$	$R_{Rk,B}^0$	$R_{w,Rk,B}$	
mm	kNm/m	kN/m	kN/m	kNm/m						kN/m						
0,70	3,19	3,13	4,78	3,67	2,94	3,67	2,94	3,67	2,94	7,83	6,27	13,78	11,03	20,15	16,12	
0,75	3,56	3,65	5,52	4,04	3,23	4,04	3,23	4,04	3,23	9,12	7,29	15,92	12,74	23,20	18,56	
0,80	3,94	4,20	6,32	4,42	3,53	4,42	3,53	4,42	3,53	10,49	8,39	18,19	14,55	26,42	21,14	
0,88	4,57	5,15	7,69	5,03	4,02	5,03	4,02	5,03	4,02	12,87	10,29	22,08	17,66	31,93	25,55	
1,00	5,50	6,74	9,96	5,96	4,77	5,96	4,77	5,96	4,77	16,86	13,49	28,52	22,82	41,00	32,80	
1,25	7,32	10,71	15,51	7,55	6,04	7,55	6,04	7,55	6,04	26,77	21,41	44,16	35,33	62,78	50,22	

Reststützmomente ⁸⁾

t_N	$l_{a,B} = 10 \text{ mm}$			$l_{a,B} = 60 \text{ mm}$			$l_{a,B} = 160 \text{ mm}$			Reststützmomente $M_{R,Rk}$
	min L	max L	max $M_{R,Rk}$	min L	max L	max $M_{R,Rk}$	min L	max L	max $M_{R,Rk}$	
mm	m	m	kNm/m	m	m	kNm/m	m	m	kNm/m	
										$M_{R,Rk} = 0$ für $L \leq \min L$ $M_{R,Rk} = \frac{L - \min L}{\max L - \min L} \cdot \max M_{R,Rk}$ $M_{R,Rk} = \max M_{R,Rk}$ für $L \geq \max L$

Charakteristische Tragfähigkeitswerte für abhebende Flächenbelastung ^{1) 2)}

Nennblechdicke	Feldmoment	Verbindung in jedem anliegenden Gurt						Verbindung in jedem 2. anliegenden Gurt					
		Endauflagerkraft	M/V- Interaktion					Endauflagerkraft	M/V- Interaktion				
			$M_{Rk,B}^0$	$M_{c,Rk,B}$	$R_{Rk,B}^0$	$R_{w,Rk,B}$	$V_{w,Rk}$		$R_{w,Rk,A}$	$M_{Rk,B}^0$	$M_{c,Rk,B}$	$R_{Rk,B}^0$	$R_{w,Rk,B}$
t_N	$M_{c,Rk,F}$	$R_{w,Rk,A}$	$M_{Rk,B}^0$	$M_{c,Rk,B}$	$R_{Rk,B}^0$	$R_{w,Rk,B}$	$V_{w,Rk}$	$R_{w,Rk,A}$	$M_{Rk,B}^0$	$M_{c,Rk,B}$	$R_{Rk,B}^0$	$R_{w,Rk,B}$	$V_{w,Rk}$
mm	kNm/m	kN/m	kNm/m	kNm/m	kN/m	kN/m	kN/m	kN/m	kNm/m	kNm/m	kN/m	kN/m	kN/m
0,70	2,94	24,54	-	3,19	-	-	24,54	12,27	-	1,60	-	-	12,27
0,75	3,23	28,63	-	3,56	-	-	28,63	14,32	-	1,78	-	-	14,32
0,80	3,53	32,64	-	3,94	-	-	32,64	16,32	-	1,97	-	-	16,32
0,88	4,02	39,58	-	4,57	-	-	39,58	19,79	-	2,28	-	-	19,79
1,00	4,77	51,21	-	5,50	-	-	51,21	25,60	-	2,75	-	-	25,60
1,25	6,04	77,92	-	7,32	-	-	77,92	38,96	-	3,66	-	-	38,96

Fußnoten siehe Beiblatt 1/2



1) Interaktionsbeziehung für M und V (elastisch-elastisch)

$$\text{Für } \frac{V_{Ed}}{V_{w,Rk}/\gamma_{M0}} \leq 0,5 \quad \frac{M_{Ed}}{M_{c,Rk,B}/\gamma_{M0}} \leq 1$$

Für $\frac{V_{Ed}}{V_{w,Rk}/\gamma_{M0}} > 0,5$ gilt Gleichung 6.27 (EN 1993-1-3), die im Sinne der Sicherheit vereinfacht werden kann:

$$\frac{M_{Ed}}{M_{c,Rk,B}/\gamma_{M0}} + \left(2 \cdot \frac{V_{Ed}}{V_{w,Rk}/\gamma_{M0}} - 1 \right)^2 \leq 1$$

2) Interaktionsbeziehung für M und R (elastisch-elastisch)

Sind keine Werte für $R_{Rk,B}^0$ angegeben, ist kein Interaktionsnachweis zu führen.

Lineare Interaktionsbeziehung für M und R:

$$\frac{M_{Ed}}{M_{c,Rk,B}/\gamma_{M0}} \leq 1 \quad \text{und} \quad \frac{F_{Ed}}{R_{w,Rk,B}/\gamma_{M1}} \leq 1 \quad \frac{M_{Ed}}{M_{Rk,B}^0/\gamma_{M0}} + \frac{F_{Ed}}{R_{Rk,B}^0/\gamma_{M1}} \leq 1$$

Für rechnerisch ermittelte Werte gilt:

$$M_{Rk,B}^0 = 1,25 \cdot M_{c,Rk,B} \quad \text{und} \quad R_{Rk,B}^0 = 1,25 \cdot R_{w,Rk,B}$$

Quadratische Interaktionsbeziehung für M und R:

$$\frac{M_{Ed}}{M_{c,Rk,B}/\gamma_{M0}} \leq 1 \quad \text{und} \quad \frac{F_{Ed}}{R_{w,Rk,B}/\gamma_{M1}} \leq 1 \quad \frac{M_{Ed}}{M_{Rk,B}^0/\gamma_{M0}} + \left(\frac{F_{Ed}}{R_{Rk,B}^0/\gamma_{M1}} \right)^2 \leq 1$$

3) Werden quer zur Spannrichtung und rechtwinklig zur Profilebene Linienlasten in das Trapezprofil eingeleitet, so ist der Nachweis der Tragfähigkeit aus der umgekehrten Profillage als Interaktionsnachweis (vgl. Fußnote 2) durchzuführen.

4) Für kleinere Zwischenaufgängerlängen $l_{a,B}$ als angegeben, müssen die aufnehmbaren Tragfähigkeitswerte linear im entsprechenden Verhältnis reduziert werden. Für $l_{a,B} < 10$ mm, z.B. bei Rohren, darf maximal der Wert für $l_{a,B} = 10$ mm eingesetzt werden

5) Bei Auflagerlängen, die zwischen den aufgeführten Auflagerlängen liegen, dürfen die aufnehmbaren Tragfähigkeitswerte jeweils linear interpoliert werden.

6) Der Profilüberstand für die wirksame Auflagerlänge $l_{a,A1}$ ist mit $c \geq 40$ mm einzuhalten. Die Auflagerlänge $l_{a,A2}$ entspricht der wirksamen Auflagerlänge einschließlich des Profilüberstandes c . Die hier angegebenen Auflagerkräfte $R_{w,Rk,A}$ sind experimentell bestätigte oder von diesen abgeleitete Werte.

7) Die Werte gelten nur für $\beta_v \leq 0,2$. Für $\beta_v \geq 0,3$ ist der Nachweis mit $l_{a,B} = 10$ mm zu führen.

8) Tragfähigkeitsnachweis (plastisch-plastisch) für andrückende Einwirkungen:

Stützmomente sind auf die sich aus den jeweils angrenzenden Feldlängen ergebenden Reststützmomente $M_{c,Rk,F}/\gamma_{M0}$ zu begrenzen.

Für das damit unter Bemessungslasten entstehende maximale Feldmoment muss gelten:

$$M_{Ed} \leq M_{c,Rk,F}/\gamma_{M0}$$

Außerdem ist für die im Endfeld entstehende Endauflagerkraft folgende Bedingung einzuhalten:

$$F_{Ed} \leq F_{w,Rk,A}/\gamma_{M1}$$

Für den Nachweis der Gebrauchstauglichkeit ist am elastischen System nachzuweisen, dass bei gleichzeitigem Auftreten von Stützmoment und Auflagerkraft an einer Zwischenstütze die 0,9-fache Beanspruchbarkeit nicht überschritten wird (vgl. Fußnote 2)

Sind keine Werte für Reststützmomente angegeben, ist beim Tragfähigkeitsnachweis $M_{Rk,B}/\gamma_{M0} = 0$ zu setzen.

9) Bei Verbindung in jedem 2. Gurt müssen die angegebenen Werte halbiert werden.

10) Kalottenlänge ≥ 50 mm.

11) Wirksame Trägheitsmomente für die Lasttrichtung nach unten (+) bzw. oben (-).

12) Wirksamer Querschnitt für eine konstante Druckspannung $\sigma = f_{y,k}$.

13) Maximale Stützweiten, bis zu denen das Trapezprofil ohne lastverteilende Maßnahmen begangen werden darf.



14) Der Grenzwert der Beanspruchbarkeit zur Einhaltung des maximalen Gleitwinkels 1/750 ergibt sich aus:

$$T_{Cd} = \frac{G_s}{750} \cdot \frac{1}{\gamma_{M,ser}} = \frac{1}{750} \cdot \frac{1}{(K_1 + K_2/L_s)} \cdot \frac{1}{\gamma_{M,ser}} \quad \text{mit } L_s = \text{Gesamtlänge des Schubfeldes in m}$$

15) Die Schubsteifigkeit S in kN zur Berechnung der Gesamtverformung des Schubfeldes ergibt sich zu:

$$S = \frac{L_s}{\left[(K_1 + K_1^* \cdot e_L) + (K_2 + K_2^*)/L_s \right]} \quad \text{mit } e_L = \text{Abstand der Verbindungselemente in den Längsstößen in m.}$$

Falls keine weiteren Angaben gemacht werden, gelten die angegebenen K^* -Werte für Unterkonstruktionen aus Stahl.

16) Der globale Beulschubfluss ist an die vorhandenen Stützweiten anzupassen:

$$T'_{Rk,g} = T_{Rk,g} \cdot (L_R/L_{Si})^2 \quad \text{mit } L_{Si} = \text{maximale Einzelstützweite in m. Für Einfeldträger kann } T_{Rk,g} \text{ verdoppelt werden.}$$

17) Im Grenzzustand der Gebrauchstauglichkeit ist nachzuweisen:

$$T_{Ed} \leq T_{Cd} \quad \text{und} \quad T_{Ed} \leq T_{b,Ck} / \gamma_{M,ser} \quad \text{Der Nachweis von } T_{b,Ck} \text{ ist nur bei bituminös verklebten Dachaufbauten erforderlich.}$$

18) Im Grenzzustand der Tragfähigkeit ist nachzuweisen:

$$T_{Ed} \leq T_{Rk,l} / \gamma_{M1} \quad \text{und} \quad T_{Ed} \leq T'_{Rk,g} / \gamma_{M1}$$

19) Die Bemessungswerte der Quer- und Auflagerkräfte sind um $F_{Ed,S} = \pm K_3 \cdot T_{Ed}$ zu vergrößern.

20) Sonderausführungsarten der Befestigung:

Eine Sonderausführung der Befestigung ist gegeben, wenn jede Rippe mit je einem Befestigungselement unmittelbar neben jedem Steg des Trapezprofils (siehe Bild 1) befestigt wird. Alternativ darf eine runde oder rechteckige Unterlegscheibe (siehe Bild 2), die unter das mittig eingebrachte Befestigungselement anzuordnen ist, verwendet werden. Die Unterlegscheibe muss den Untergurt in seiner gesamten ebenen Breite überdecken.

Für die Scheibendicke d gilt:

$$d \geq 2,7 \cdot t_{cor} \cdot \sqrt[3]{\frac{l}{c_u}} \geq 2,0 \text{ mm} \quad \text{mit } l = \text{Untergurtbreite des Trapezprofils} \\ c_u = \text{Breite der Unterlegscheibe in Trapezprofil-längsrichtung oder Durchmesser der Unterlegscheibe}$$

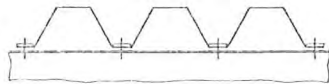


Bild 1

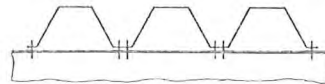


Bild 2

21) Einzellasten $F_{l,Rk}$ in kN je Rippe für die Einleitung in Trapezprofile in Spannrichtung ohne Lasteinleitungsträger.

22) Bei exzentrischer Lasteinleitung, z.B. aus der Weiterleitung der Kräfte aus dem Festpunkt der Außenschale zweischaliger Dächer in das Schubfeld, ist zusätzlich nachzuweisen:

$$T_{Ed} \leq T_{l,Rk} / \gamma_{M0}$$

Erläuterungen zu den Schubfeld-Beiwerten

Wert		Einheit
K_1	Konstante zur Gleitwinkelberechnung	m/kN
K_2	Konstante zur Gleitwinkelberechnung	m ² /kN
K_1^*	Konstante zur Gesamtverformungsberechnung	1/kN
K_2^*	Konstante zur Gesamtverformungsberechnung	m ² /kN
K_3	Faktor für die Endauflager- und Querkraft	-
L_R	Referenzlänge (Einzelstützweite) für $T_{Rk,g}$	m
L_{Si}	Einzelstützweite	m
$T_{Rk,g}$	globaler Beulschubfluss bei L_R	kN/m
$T_{Rk,l}$	Kleinstwert aus dem lokalen Beulschubfluss und dem Spannungsnachweis	kN/m
$T_{b,Ck}$	Grenzschubfluss für die Relativverformung $h/20$, h = Profilhöhe	kN/m
$T_{l,Rk}$	Grenzschubfluss zur Begrenzung der Querbiegespannung	kN/m